

アクチビンの情報伝達に関する分子機構： 普遍的伝達と組織特異的伝達

Molecular mechanism of activin signaling: common pathway and tissue-specific regulation

舟場正幸¹, 池田輝雄², 村上 賢³

麻布大学獣医学部¹栄養学研究室, ²微生物学第一研究室, ³分子生物学研究室

Masayuki Funaba¹, Teruo Ikeda² and Matanobu Abe³

Laboratories of ¹Nutrition, ²Veterinary Microbiology I, and ³Molecular Biology
Azabu University School of Veterinary Medicine

Abstract. Previous studies have indicated that activin A and TGF- β_1 , members of the TGF- β family, modulate functions of bone marrow-derived cultured mast cells (BMMC); cell maturation (up-regulation of mouse mast cell proteases (*mmcp*s)), growth arrest and migration. At present activin signaling is indistinguishable from TGF- β signaling at the signaling molecule level of downstream of receptor binding. In the present study, the roles of p38 MAP kinase and Smad3 in TGF- β -mediated cell responses in BMMC were explored. Treating BMMC with TGF- β_1 induced the phosphorylation of p38 within 2 h and persisted for 24 h. The involvement of p38 in TGF- β_1 -induced cell responses depended upon mast cell functions; it was necessary for up-regulation of *mmcp-1* and migration, but not for up-regulation of *mmcp-7* and inhibition of MTT uptake and reduction. The decrease in MTT uptake and reduction in response to TGF- β_1 treatment was smaller in Smad3-deficient BMMC compared to wild-type BMMC. Maximal migration was detected at a TGF- β_1 concentration of 40 fM in wild-type BMMC, whereas TGF- β_1 -induced migration was absent in Smad3-deficient BMMC. Thus, the roles of p38 and Smad3 are different among TGF- β -mediated cell responses in BMMC.

1 目的

ActivinはTGF- β familyに属する細胞増殖・分化調節因子である。TGF- β を含めた他のファミリーメンバーと同様, activinの機能は胚誘導から造血, 骨形成, 免疫機能の調節に至るまで実に多彩である(1)。Activinの情報伝達は, 同じファミリーのTGF- β の情報伝達と同様, それぞれのII型受容体への結合に端を発する。リガンドが結合したII型受容体はI型受容体と会合し, 活性化されたI型受容体のセリンキナーゼがSmad2 / Smad3のC末端のセリン残基をリ

ン酸化する。その結果, Smad2 / Smad3はSmad4と複合体を形成することにより標的遺伝子の発現を転写レベルで制御している(2)。Activin / TGF- β の多彩な機能に比べて, この単純なSmadを介した情報伝達経路は, 様々な経路とSmadによる情報伝達経路のクロストークや組織特異的なSmad経路の調節を予想させる。

先の研究において, 免疫担当細胞であるマスト細胞において, activin AとTGF- β_1 は様々な活性を有することを明らかにした(3, 4)。現時点において, 受容体結合以降の情報伝達機構においてactivinとTGF-

β に差はない(2)。本研究では、activinの情報伝達機構の解明を試みる一環として、TGF- β によるマスト細胞の活性変化に対するSmad3とp38 MAPキナーゼの関与を調べた。

2 方 法

マウス骨髓由来前駆マスト細胞(BMMC)の分離、RNA単離、realtime RT-PCR、MTT assay、migration assayは既報(3,4)に準じて行った。

3 結果と考察

BMMCの培養液中にTGF- β_1 を添加し、p38キナーゼの180番目のThrと182番目のTyrのリン酸化を認識する抗体でWestern blotを行ったところ、2時間以降に有意なリン酸化が認められ、これは少なくとも24時間継続した(Fig. 1A)。一方、MAPキナーゼファミリーの別のキナーゼであるJNKやERKはTGF- β_1 処理に対して有意なリン酸化を示さなかった(Fig. 1A, data not shown)。p38キナーゼのリン酸化は200 pM TGF- β_1 処理によって検出され、それより低い濃度では検出下限以下であった(Fig. 1B)。又、p38キナーゼのリン酸化はp38 inhibitorであるSB203580の前処理によって抑制された(Fig. 1B)。p38キナーゼはThr180/Tyr182がMAPキナーゼキナーゼであるMKK3/6によってリン酸化されるか、あるいはTGF- β -activated protein kinase 1-binding protein 1との相互作用を通して自己リン酸化によってリン酸化されると活性化する(5)。SB203580はp38キナーゼの活性部位に結合することによってp38キナーゼ活性を抑制する(6)ことから、TGF- β_1 処理によ

るp38キナーゼのリン酸化は自己リン酸化による可能性がある。

以前の研究において、TGF- β_1 処理したBMMCでは $mmcp-1$ や $mmcp-7$ を含めたマスト細胞プロテアーゼの遺伝子発現量が増加することを明らかにしている(3,4)。この活性に対するp38キナーゼとSmad3の影響を調べた。Smad3の影響を調べるため、Smad3 exon8を標的としたSmad3 knock-out mice(7)からBMMCを調製した。TGF- β_1 による $mmcp-1$ の発現増は野生型及びSmad3欠損のいずれのBMMCにおいても観察され、SB203580処理によって発現量の減少が認められた(Fig. 2A, B)。興味深いことに、ERKをリン酸化、活性化するキナーゼであるMEK1のinhibitorであるPD98059やJNK inhibitorであるSP600125処理によって、TGF- β_1 -誘導性の $mmcp-1$ 発現増はさらに亢進した。一方、野生型及びSmad3欠損のいずれのBMMCにおいてもTGF- β_1 による $mmcp-7$ の発現増は、SB203580処理によって変化しなかった(Fig. 2C, D)。又、野生型BMMCではPD98059やSP600125によって $mmcp-7$ 発現量はさらに増加したのに対して、Smad3欠損BMMCではその現象は認められなかった。これらの結果は、TGF- β_1 による $mmcp-1$ 遺伝子発現増に対してp38キナーゼ活性が必要である一方、 $mmcp-7$ 遺伝子発現には必要ではないことを示している。又、両遺伝子誘導に対してSmad3は必須ではないことも示唆している。

次に、TGF- β_1 によるBMMCの増殖抑制活性をMTT assayによって調べた。BMMCをTGF- β_1 処理するとMTTの取り込みは減少したが、その程度は野生型に比べて、Smad3を欠損したBMMCでは小さかつ



Fig. 1 TGF- β induces the phosphorylation of p38 MAP kinase in BMMC. (A) BMMC were treated with or without TGF- β_1 (200 pM) for the indicated time period, or with Aso (50 ng/ml) as a positive control for 30 min. (B) BMMC were treated with TGF- β_1 at the indicated concentration for 6 h. SB203580 (5 μ M) was added 20 min prior to TGF- β_1 treatment. The phosphorylation of p38 and JNK was examined using Western blot analysis.

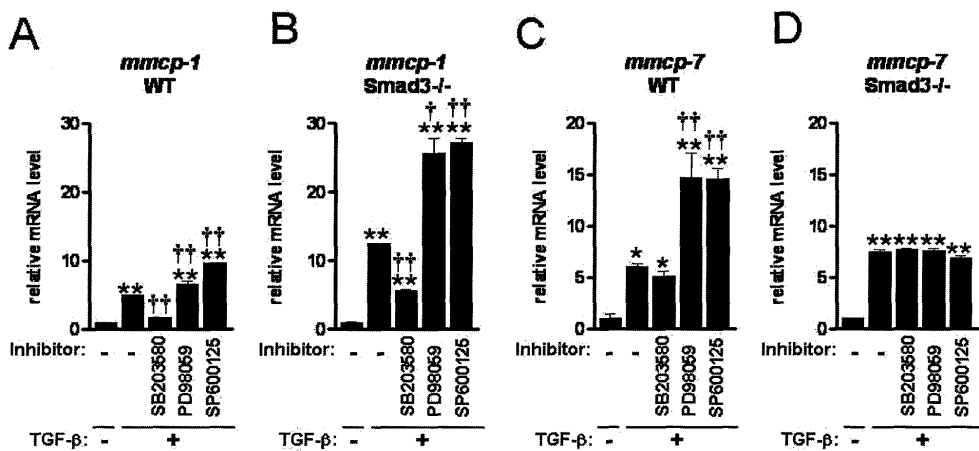


Fig. 2 The p38 MAP kinase is required for the TGF- β -induced up-regulation of *mmcp-1* but not *mmcp-7* in BMMC. BMMC from WT mice (A and C) or Smad3-null mice (B and D) were treated with or without TGF- β_1 (200 pM) for 8 h after pretreatment with vehicle (DMSO) or the indicated kinase inhibitor for 20 min. Vehicle or the kinase inhibitor was not washed out during TGF- β_1 treatment. The mRNA levels of *mmcp-1* (A and B) and *mmcp-7* (C and D) were measured using quantitative real-time RT-PCR. The mRNA level in BMMC treated without TGF- β_1 and kinase inhibitor was set at 1. The data are expressed as the mean \pm SD ($n = 3$). * $P < 0.05$ and ** $P < 0.01$ as compared with TGF- β (-); † $P < 0.05$ and †† $P < 0.01$ as compared with TGF- β (+) in the absence of kinase inhibitor.

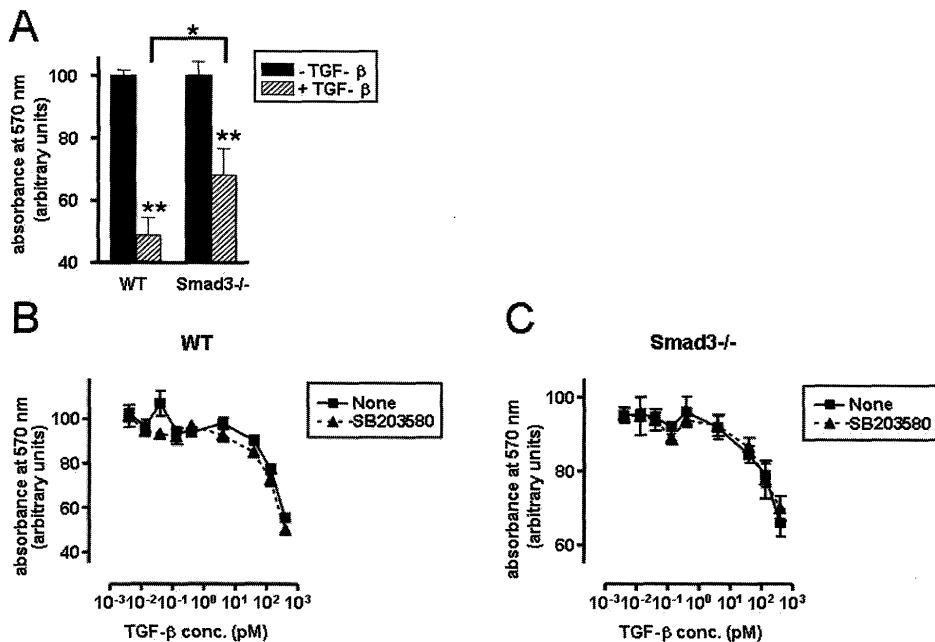


Fig. 3 Smad3, but not p38 MAP kinase, is involved in TGF- β -induced changes in metabolic activity in BMMC. (A) BMMC from WT or Smad3-null mice were treated with or without TGF- β_1 (200 pM) for 24 h. (B-C) BMMC from WT (B) or Smad3-null (C) mice were treated with TGF- β_1 at the indicated concentration. SB203580 (5 μ M) was added 20 min prior to TGF- β_1 treatment. SB203580 was not washed out during TGF- β_1 treatment. A representative result from three independent experiments is shown. BMMC were treated with MTT for 4 h, and the absorbance at 570 nm in BMMC without TGF- β_1 and SB203580 was set at 100. The data are expressed as the mean \pm SD ($n = 3$). * $P < 0.05$ and ** $P < 0.01$.

た (Fig. 3A)。一方、どちらの BMMC においても SB203580 は、TGF- β_1 による MTT 取り込み抑制活性に影響しなかった (Fig. 3B)。この結果は、TGF- β_1

による細胞増殖抑制に対して、Smad3 は部分的に関与しているが p38 キナーゼは関与しないことを示している。

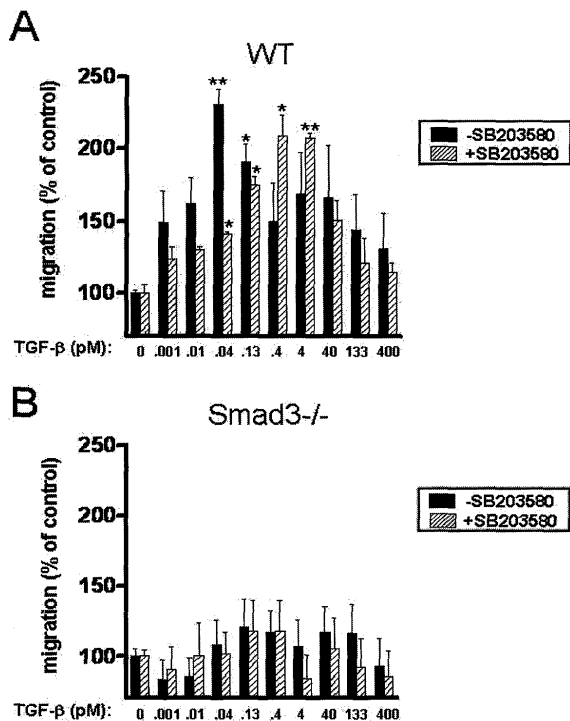


Fig. 4 Smad3 and p38 MAP kinase are required for TGF- β -induced migration in BMMC. Migration was evaluated in BMMC from WT (A) or Smad3-null (B) mice treated with TGF- β_1 at the indicated concentration for 4 h. SB203580 (5 μ M) was added 20 min prior to TGF- β_1 treatment. SB203580 was not washed out during TGF- β_1 treatment. A representative result from three independent experiments is shown. Migration in BMMC without TGF- β_1 was set at 100. The data are expressed as the mean \pm SD ($n = 3$). * $P < 0.05$ and ** $P < 0.01$ as compared with TGF- β (-).

BMMC には TGF- β_1 に対する遊走能がある (3)。野生型 BMMC において最高遊走能を示す TGF- β_1 の濃度は 40 fM であったのに対して、SB203580 处理すると、最高遊走能を示す濃度が、4 pM にまで増加した (Fig. 4A)。一方、Smad3 欠損 BMMC では TGF- β_1 に対する遊走は全く見られなかった (Fig. 4B)。この結果は、TGF- β_1 に対する遊走能に対して Smad3 は必須であること、並びに p38 キナーゼは最高活性を引き起こす上で必要であることを示している。

結論として、BMMC に対して TGF- β_1 处理を行うと、p38 キナーゼの活性化が起こり、この p38 キナーゼと TGF- β の signal mediator である Smad3 は TGF- β_1 による BMMC の機能変化に関与していることが分かった。p38 キナーゼと Smad3 の関与の仕方は BMMC の機能によって異なり、このことが activin を含めた TGF- β ファミリーの単純な情報伝達経路に比べて多

様な生物活性を部分的に説明する。

4 要約

以前の研究において、TGF- β ファミリーに属する activin A と TGF- β_1 は、ともに、骨髓由来の培養マスト細胞 (BMMC) の機能—細胞の成熟 (マスト細胞プロテアーゼ (*mmcps*) の発現増)，細胞増殖抑制や遊走—を同じように変化させることを明らかにしている。現時点において、受容体結合以降の細胞内情報伝達機構に関して、activin と TGF- β において差はない。本研究では、アゴニストとして TGF- β_1 を用いて、TGF- β_1 による BMMC の機能変化における Smad3 と p38 MAP キナーゼの関与を調べた。TGF- β_1 处理した BMMC では p38 キナーゼは 2 時間以内にリン酸化され、リン酸化は少なくとも 24 時間継続した。TGF- β_1 による BMMC の機能変化における p38 キナーゼの関与の仕方は、機能に依存した。すなわち、TGF- β_1 による *mmcp-1* の誘導や遊走に対して p38 キナーゼは必要なのに対して、*mmcp-7* の誘導や細胞増殖の抑制に対しては必要ではなかった。野生型 BMMC と比較して、Smad3 欠損 BMMC では TGF- β_1 による細胞増殖抑制程度は小さくなかった。野生型 BMMC では 40 fM の TGF- β_1 に遊走する活性があったが、Smad3 欠損 BMMC では TGF- β_1 に対する遊走能は消失した。以上の結果、BMMC において TGF- β_1 が引き起こす細胞の反応において p38 キナーゼと Smad3 の関与の仕方は機能によって変化することが明らかになった。

文 献

- Mathews LS. Endocr Rev. 15, 310-325. 1994.
- Miyazawa K, Shinozaki M, Hara T, Furuya T, Miyazono K. Genes Cells. 7, 1191-1204. 2002.
- Funaba M, Ikeda T, Ogawa K, Murakami M, Abe M. J Leukoc Biol. 73, 793-801. 2003.
- Funaba M, Zimmerman CM, Mathews LS. J Biol Chem. 277, 41361-41368. 2002.
- Ge B, Gram H, Di Padova F, Huang B, New L, Ulevitch RJ, Luo Y, Han J. Science 295, 1291-1294. 2002.
- Wang Z, Canagarajah BJ, Boehm JC, Kassisa S, Cobb MH, Young PR, Abdel-Meguid S, Adams JL, Goldsmith EJ. Structure 6, 1117-1128. 1998.
- Yang X, Letterio JJ, Lechleider RJ, Chen L, Hayman R, Gu H, Roberts AB, Deng C. EMBO J. 18, 1280-1291. 1999.